

# ● MUSES 使用、徹底的に音質こだわった

マルチ電源 70W × 2 パワー・

■ 別府俊幸 ■

## アンプの製作

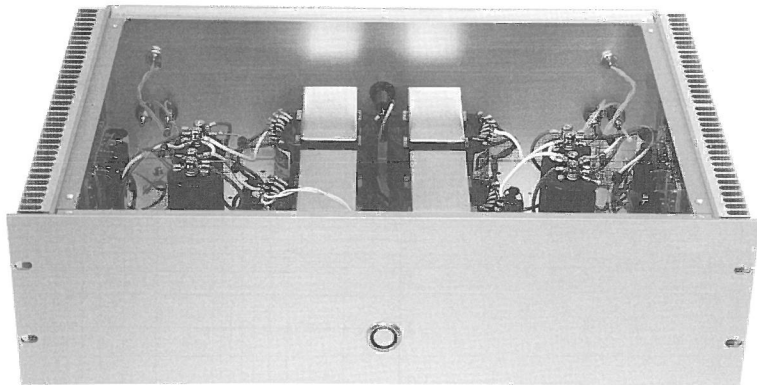
### ふたたび MUSES オペアンプについて

新日本無線(株)より昨年12月に発売されたMUSESシリーズ<sup>(1)</sup>は、前号でお話したとおり、徹底的に音質にこだわって開発されたオペアンプです。多くの、というよりも、ほとんどのオーディオ機器にはオペアンプが使用されていますが、真空管と異なり、NE5532がよい、いやRC4558だ、FET入力のTL082だ、などと型番が取沙汰されることもなく、さらには、同じ5532であってもP社がよい、いやT社だ、それともN社だ、などとメーカーにこだわられることもめったにありません。

しかし、オペアンプによって音は異なります。外見上は同じDIPパッケージに収められていたとしても、中のシリコン・チップ上の回路構成は異なります。ですから、当然、音も異なります。

また、同じ番号のオペアンプであっても、メーカーによって音は異なります。もっとも、セカンド・ソースと呼ばれる同じ番号のオペアンプは、後発メーカーが“等価”な回路を設計して製造しているものですから、チップの回路構成や製造プロセスは異なります。チップ上のトランジスタの形状や配置が異なれば、当然、音も異なるでしょう。

ところで、私は「オペアンプは音が悪い」と信じていました。これ以



前にも20～30種類はオペアンプを試聴しましたが、私にはどれも同じ種類の音、いわば“オペアンプの音”が聴こえました。広がり感のない、カサカソしたような、伸びのない、息が詰まったような音が、何を聴いてもつきまとってきます。

オペアンプによって、帯域バランスが異なったり、音の質感が異なったりはありますが、それでもすべてに“オペアンプの音”があります。この“オペアンプの音”は、ディスクリートの半導体アンプでは取り除くことができるのですから、オペアンプには音を悪くする何らかの共通因子がある、と考えていました。

昨年の8月、MUSESのサンプルを入手しました。写真に示すようにサンプルは、5720、5820とナンバーがつけられていました。MUSE01/NJM5720は入力の差動回路がJ-FETであり、MUSE02/NJM5820はバイポーラです。

試聴では第1図のように11倍の

ノン・インバータおよびインバータとして、DAコンバータとパワー・アンプの間に入れて試聴しました。なにも入れていない電線だけの状態(ダイレクト)との比較です。

ヴォルテージ・フォロワとして試せばゲイン1倍となります。ヴォルテージ・フォロワを必要とするオーディオ回路には無縁です。しかし、オペアンプにゲインを持たせますから、フィードバック・ループやアッテネーターに使う抵抗の音も含まれてきます。

さらにいえば、同じゲインであっても抵抗値を大きくするか小さくするかによって音は変わります。が、抵抗値による音の差は何度も経験していますし、素子の音とは別の種類の変化をします。オペアンプによる音質劣化とは分けて捉えられると言えます。

とにかく、音は聴かなければわかりません。

正直なところ期待は大きくありま

せんでした。そもそも、"オペアンプの音"が嫌いですから、ディスクリートでアンプを組んでいます。高音質を謳ったパーツにがっかりさせられたことは一度や二度ではありません。どうせあの"オペアンプの音"が聴こえるだろうと……。

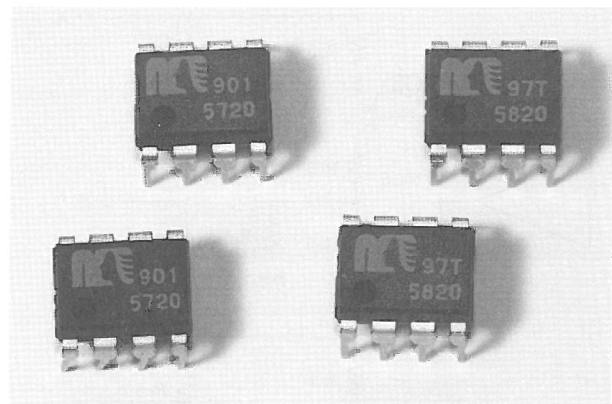
ところがこのMUSESからは、"オペアンプの音"が聴こえません。色づけもわずか。情報量の欠落も少し。なにより音場感が失われない。アンプの理想は"増幅する電線だ"との広告を昔に見たような気がしますが、増幅しない電線と比べても劣化は大きくありません。信号を増幅して、それから減衰させているのに、です。

出色的オペアンプです。

比較した中でのベストは、MUSES02のノン・インバータ接続でした。ダイレクト接続との比較では、わずかに中低域が混沌として、押し出しが悪いような感じはありました。しかしクリアで、音色の再現も悪くありません。躍動感もあり、聴いていて楽しさを失っていない音です。

ダイレクトと比較すると、細かなニュアンスの再現に劣り、音色がくすみますが、それほどではありません。私のイメージの中にある詰まつたような、伸びのない、質感のない"オペアンプの音"がありません。

●筆者が入手したサンプル。まだ正式名称のMUSESは使われていない



イメージを覆してしまうレベルの高い再生音です。ただ、若干の定位感の劣化は感じられます。しかし、デュアルとは信じられないくらいのわずかな劣化です。

付け加えておきますが、比較に用いたオペアンプを除いて試聴時のシステムはすべて、左右、プラス・マイナス、すべての増幅段に別々の電源トランジスタを用いています。その中でふつうのデュアル・オペアンプを試すと、悲惨なくらい平板な、奥行感のない、音像が不明確となって混沌とした"デュアル・オペアンプの音場"と化してしまいます。

参考のために比較したNJM4558はまさに"デュアルの音場"です。

しかし、MUSES02は"デュアルの音場"ではありません。

つぎにインバータ接続です。が、残念ながら、ノン・インバータに及びません。音像は小さく霞み、定位

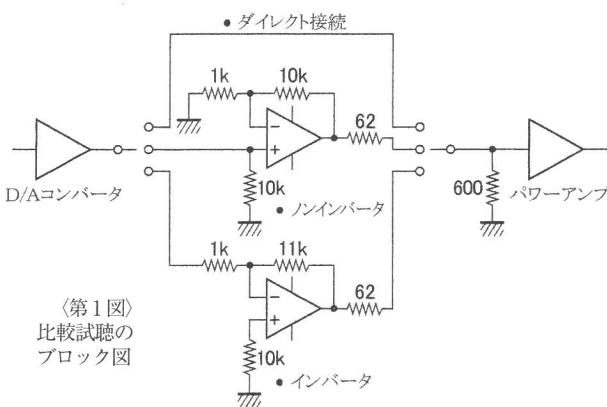
感も劣ります。また、音色も薄くなってしまいます。MUSES02の能力をあますところなく発揮させるためにはノン・インバータがよさそうです。

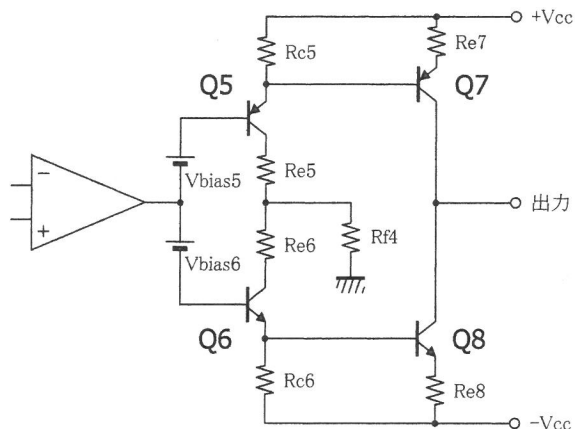
MUSES02に比べるとJ-FET入力のMUSES01は、わずかに色彩感に欠ける音でした。その傾向はとくに中高域に強く感じられましたが、反面、低域はベストです。5820で不満であった混沌とした感じが少なく、しまりのよい低音です。低音の質はより良好と感じられます。量感があって、音像がきちんとされています。音場感は5820と同じく、デュアル・オペアンプとは思えないほど良好です。

インバータ接続での傾向はMUSES01も同様でした。音色がモノ・トーンになり、躍動感に欠ける傾向です。MUSES01も、やはりノン・インバータ接続が良好です。

## 回路の構成

オペアンプはたいへん便利な素子です。抵抗比でゲインを計算できますし、その抵抗さえ外付けすれば、広帯域のDCアンプをきわめて簡単に作ることができます。しかし、パワー・アンプにオペアンプを用いようとすると、その出力電圧範囲は十分ではありません。かりに4Ωで50Wを出したいとしても20Vの





〈第2図〉  
オペアンプの出力にエミッタ接地増幅段をブースタに使った

出力電圧が必要です。これは、電源電圧 $\pm 16$  Vのオペアンプには不可能な数字です。

解決策の1つが8月号のパワー・アンプで用いたエミッタ接地+エミッタ・フォロワでした。動作も問題ありませんし、音も悪くありませんが、オペアンプの使いかたがふつうではない点だけが気にかかります。

そこで今回は、第2図のようにオペアンプの出力に2段エミッタ接地増幅回路をブースタとして用いました。4 Ω負荷にて出力70 Wを目標とすると、最大出力電圧24 Vが必要です。オペアンプの最大出力が14 V、それをブースタで1.4倍に増幅されれば24 Vが得られます。大きな電圧ゲインは必要ではありません。

最大出力電流は6 Aが必要です。14 mAの出力があれば、428倍すれば達成できます。1段当たりでは21倍ですから、これも可能な数字です。

実は、このコレクタをスピーカへの送り出しとする回路は、20年以上前に試みたことがあります。そのときは、エミッタ・フォロワを使いたくないと理由から試みまし

たが、線の太い音を聴かせてくれた覚えがあります。

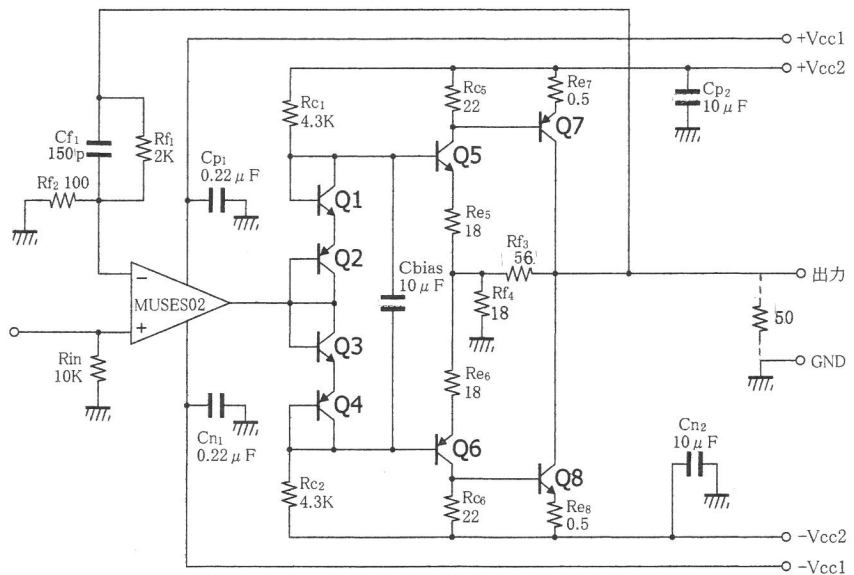
しかし、この回路は負荷インピーダンスによって、ゲインが変わります。スピーカをつないだだけでバイアス電流が変化してしまい、安定させられなかったため、お蔵入りとなっていました。

ところが、世の中にはうまい方法を考える人がいるものです。出力と $R_{f4}$ の間にフィードバック抵抗 $R_{f3}$ を用いてエミッタ接地段のゲインを制限すると、見事にこの問題を解決できます<sup>(2)</sup>。

アンプ回路を第3図に示します。オペアンプの出力は、 $Q_1 \sim Q_4$ のバイアス電圧回路を通して $Q_5$ 、 $Q_6$ に入力されます。 $Q_5$ 、 $Q_6$ はエミッタ接地プッシュプル回路を構成します。 $Q_5$ 、 $Q_6$ の出力は、 $Q_7$ 、 $Q_8$ の2段目のエミッタ接地プッシュプルに入力されます。 $Q_7$ 、 $Q_8$ の出力（コレクタ）はそのまま出力端子へと導かれます。

出力にはエミッタ・フォロワを使うのが一般的ですが、コレクタからスピーカをドライブできるのであればあえて用いる必要はないでしょう。コレクタは出力インピーダンスが高いと教科書にはありますが、フィードバックを用いれば出力インピーダンスも下がります。1段でも増幅段は少ない方が、音のクオリティを下げないと考えます。

そして、2段のエミッタ接地回路のゲインを制限するために $R_{f3}$ 、 $R_{f4}$ の局所的なフィードバック（マイナーループ）を用います。ここがポイントです。マイナーループなしでは、トータルのオープン・ループ・



Q1, Q3 2SC1845      Q5 2SC5171      Q7 2SA1386A  
Q2, Q4 2SA992      Q6 2SA1930      Q8 2SC3519A

〈第3図〉 700 W × 2 パワー・アンプの増幅部回路（片チャネル）

ゲインが大きくなりすぎてしまい、不安定動作を招きます。

## トランジスタの選定

バイアス電圧回路の  $Q_1 \sim Q_4$  には、NEC 2SA 992 / 2SC 1845 を用いました。ディスクリートのアンプなら初段に用いたいバランスのよいペアです。しかし、 $Q_1 \sim Q_4$  は増幅するわけでもありませんし、それほど音には関係しないようにも思いますが、わざわざよくなかったトランジスタを試みるのはおっくうです。 $Q_1$  と  $Q_5$ ,  $Q_2$  と  $Q_7$ ,  $Q_3$  と  $Q_8$ ,  $Q_4$  と  $Q_6$  とそれぞれ pnp 同士, npn 同士で熱結合し、温度補償させています。

1段目のエミッタ接地  $Q_5$  と  $Q_6$  には、東芝 2SA 1930 / 2SC 5171 を使用しました。

10年以上前に使っていた NEC 2SA 1006 / 2SC 2336 は、中域の充実した嫌な音のないことだけが取り柄のペアでした。押し入れには数百個ストックしてありますが、残念なことに現在では流通していません。

そこでドライバに使えそうなペアを物色し、入手できた6種類の中でベストのコンプリを使いました。音は、2SA 1006 / 2SC 2336 と比べるかにワイド・レンジです。やや高域にバランスが寄る傾向があるものの、付帯音の少ないすばらしく透明

な音を聴かせてくれるペアです。絶対最大定格はコレクタ・エミッタ間電圧 180 V, コレクタ電流 2 A, コレクタ損失 20 W です。

出力段の  $Q_7$ ,  $Q_8$  にはサンケン電気 LAPT マルチエミッタ・トランジスタ 2SA 1386 A / 2SC 3519 A を使用しました。解像力の高い再生音を聴かせてくれるパワー・トランジスタです。絶対最大定格はコレクタ・エミッタ間電圧 180 V, コレクタ電流 15 A, コレクタ損失 130 W です。

## 回路の設計

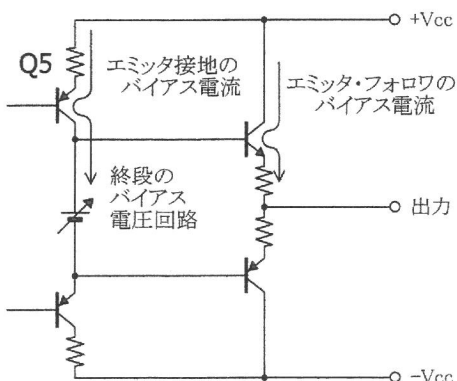
回路は正負対称ですから、ポジティブ側についてだけ考えます。

バイアス段の電流は、 $R_{c1}$  によって決まります。 $Q_1$  のコレクタ電流を  $I_{C(Q1)}$  とすれば、 $Q_1$  と  $Q_2$  のベース・エミッタ間電圧を 0.7 V として、

$$I_{C(Q1)} = \frac{V_{cc} - 0.7 \times 2}{R_{c1}} \quad \dots(1)$$

です。

$Q_1$  と  $Q_2$  のエミッタ・フォロワのバイアス電圧回路であれば、ある程度電流を流した方がしっかりととした線の太い音になります。今回はそれとは違いエミッタ接地のバイアス電圧回路であり、エミッタ・フォロワの経験からは 5 mA 以上としたいところです。



〈第4図〉  
エミッタ接地と  
出力段動作の関  
係。エミッタ接  
地のブッシュプ  
ルは A 級動作  
とした

$R_{c1}$  には、たまたま手元にあったという理由で 4.3 kΩ を使いました。 $Q_1$  と  $Q_2$  のコレクタ電流は約 7 mA となります。

$Q_5$  のコレクタ電流は、 $R_{e5}$  で決めることになります。ところが、 $R_{e5}$  は電流を決めるときに、1段目のエミッタ接地段のゲインに関係し、さらには、出力段の動作クラスにも関係します。 $Q_5$  のバイアス電流  $I_{C(Q5)}$  は、 $Q_5$  のベース・エミッタ間電圧も 0.7 V と仮定すると、

$$I_{C(Q5)} \approx 0.7 / R_{e5} \quad \dots(2)$$

です。また、 $Q_5$  のゲイン  $G_1$  は近似的に、コレクタ抵抗 / エミッタ抵抗で求められます。

$$G_1 \approx R_{e5} / R_{c1} \quad \dots(3)$$

ここで、コレクタ抵抗  $R_{c5}$  には  $Q_7$  のベースが並列接続されますが、 $Q_7$  の入力抵抗は近似的にスピーカのインピーダンス  $R_{load}$  の  $h_{fe}$  倍となりますから、(3)式は、

$$G_1 \approx \frac{[R_{e5} \parallel (h_{fe(Q7)} \times R_{load})]}{R_{e5} + 2R_{f4}} \quad \dots(4)$$

となります。ここで、 $R_{f4}$  もゲインを減少させるように働きます。ただ、後述しますが、 $R_{f3} + R_{f4}$  は負荷抵抗  $R_{load}$  と並列になりますので、小さくし過ぎるとパワーを熱に換えてしまいます。

一方、 $R_{c5}$  は終段  $Q_7$  のアイドリング電流に関係します。第4図のように終段がエミッタ・フォロワの場合、エミッタ接地段のブッシュプルは A 級動作とします。

当初は同じように、今回の回路でもエミッタ接地1段目は A クラスとして、2段目は B クラスにしたい、と考えていました。しかし、終段  $Q_7$  を B クラスとするために  $R_{c5}$  を小さくすれば、(4)式で示したゲインも小さくなってしまいます。か

といって  $R_{e5}$  も小さくすれば、 $Q_5$  のアイドリング電流も小さくせざるを得ないため、 $Q_7$  のオン・オフに  $Q_5$  も引きずられてしまいます。

だからといって、ゲインを稼ごうと  $R_{e5}$  を大きくすれば、終段  $Q_5$  のアイドリング電流が増加します。

終段を A クラスとして妥協してもよいのですが、発熱の問題が大きくなるしかかってきます。ヒート・シンクの大きさからは、終段のアイドリングは 500 mA 以下に押さえたいところです。

ところで、2 段目（終段）のゲイン  $G_2$  は近似的に、

$$G_2 \approx \frac{R_{load} \parallel (R_{f3} + R_{f4})}{R_{e7}} \quad \dots \dots \dots (5)$$

です。そして、2 段エミッタ接地ブースタのゲイン  $G_0$  は、

$$G_0 = G_1 \cdot G_2 \quad \dots \dots \dots (6)$$

となります。ここで、 $Q_7$  のエミッタ抵抗  $R_{e7}$  は  $0.5 \Omega$  に決めてかかります。スピーカのインピーダンス  $R_{load}$  は  $4 \Omega$  とすると、式(5)より、

$$G_2 \approx \frac{4 \parallel (R_{f3} + R_{f4})}{0.5} < 8 \quad \dots \dots \dots (7)$$

ですが、 $R_{f3}$  と  $R_{f4}$  の値をそれほど小さくすることはありませんので、 $G_2 > 6$  は見込めます。 $G_0$  は 2 倍もあれば十分ですから、 $G_1$  は  $1/3$  倍程度でよいことになります。また、後述する理由により  $R_{load}$  が大きいときにも、ブースタ回路のゲインが大きくなり過ぎないようにしなければなりません。

以上、何度も堂々巡りを繰り返したのですが、最後は、適当に、 $R_{e5} = 18 \Omega$ 、 $R_{e5} = 22 \Omega$ 、 $R_{f3} = 56 \Omega$ 、 $R_{f4} = 18 \Omega$  としました。また、出力に  $R_{load}$  がなくても安定するように  $R_{out} = 50 \Omega$  を用いました。このときの  $Q_5$  ゲイン  $G_1$  は、 $Q_7$  の  $h_{fe}$  を 80 とすれば(4)式より、

$$G_1 \approx \frac{122 \parallel [80 \times (4 \parallel 50)]}{18 + 2 \times 18}$$

$$\approx 0.38 \quad \dots \dots \dots (8)$$

となり、 $Q_7$  のゲイン  $G_2$  は(7)式より、

$$G_2 \approx \frac{(4 \parallel 50) \parallel (56 + 18)}{0.5}$$

$$\approx 7.05 \quad \dots \dots \dots (9)$$

となり、ブースタ回路のゲイン  $G_0$  は、

$$G_0 \approx 0.38 \times 7.05 \approx 2.68 \quad \dots \dots \dots (10)$$

となります。

### マイナー・ループの設計

ここで、式(4)、(5)より明らかのように、ブースタ回路のゲイン  $G_0$  は  $R_{load}$  に比例（厳密には比例ではないが）して大きくなります。ところが、不用意に高ゲインのブースタ回路を付け加えると、オープン・ループ・ゲインが増大するためにフィードバック・ループの位相余裕がなくなり、アンプは発振器と化してしまいます。

データ・シート<sup>(3)</sup>の電圧利得対周波数特性のグラフからは、オペアン

プの位相余裕（ゲインが 0 dB となる周波数での位相 +180°）は 50° と読み取れます。仮にブースタ回路での位相回転は 0° としても、オープン・ループ・ゲインが 5 dB アップすれば位相余裕は 30°、10 dB アップでは 0° です。ブースタ・ゲインは 5 dB より小さくしておかなければ、発振しないまでも寄生振動が生じたりする可能性が大です。

そこで、 $R_{f3}$  と  $R_{f4}$  を使ってマイナー・ループを構成し、ゲインを調整します。マイナー・ループを用いた時のブースタ・ゲイン  $G_{booster}$  は、

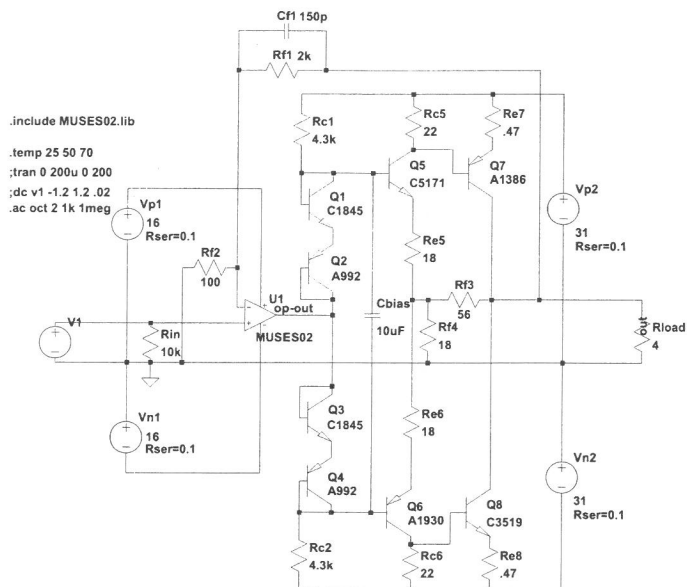
$$G_{booster} = \frac{G_0}{1 + G_0 \frac{R_{f4}}{R_{f3} + R_{f4}}} \quad \dots \dots \dots (11)$$

となります。 $G_{booster}$  は 1.4 倍以上必要です。そこで、4 Ω 負荷のときに  $G_{booster}$  を確保できるように  $R_{f3} = 56 \Omega$  としました。このときの  $G_{booster}$  は、

$$G_{booster} \approx \frac{2.68}{1 + 2.68 \frac{18}{56 + 18}} \quad \dots \dots \dots (12)$$

$$\approx 1.62 \text{ (4.2 dB)}$$

です。また、 $R_{load}$  を接続しない無



〈第5図〉 リニアテクノロジー社 LTspice によるシミュレーション回路

負荷状態では、 $R_{f3}+R_{f4}=74\Omega$ と $R_{out}=50\Omega$ が並列に負荷抵抗となりますので、この時のゲインは、式(4)～(6)より、

$$G_0 \approx 24.2 \quad \dots \dots \dots \quad (13)$$

となり、 $G_{booster}$ は、

$$G_{booster} \approx \frac{24.2}{1+24.2} \frac{18}{18+56} \dots \dots \dots \quad (14)$$

$$\approx 3.51 \quad (10.9 \text{ dB})$$

となります。無負荷状態では、計算上は発振器と化すと思われますが、実機では $R_{out}=50\Omega$ にて発振は見られませんでした。

### メジャー・ループの設計

アンプ回路のゲインは、 $R_{f1}$ と $R_{f2}$ によって決定されます。

$$G = 1 + R_f/R_i \quad \dots \dots \dots \quad (15)$$

$$= 1 + 2k/100 = 21 \quad (26.4 \text{ dB})$$

です。

位相補償キャパシタ $C_{f1}$ は、通常はなくとも動作に問題はありません。しかし、電源オフ時に電圧が±10Vくらいに下がってきたときに、1～2秒間ですが1MHzで発振したため、それを止めるために入れました。

ところが、150pFありとなしでは、あった方が落ち着いたような自然な感じに聴こえます。ほかの容量での試聴はしていません。ここは、

小さ過ぎると刺激的な音になり、大き過ぎると平板的な音になりますので、もうちょっと追い込む必要があります。

### 回路のシミュレーション

第5図にシミュレーション回路を示します。シミュレーションには、リニアテクノロジー社 LTspice IV 4.06 を用いました<sup>(4)</sup>。LTspice は Linear Technology 社のホームページよりダウンロードできるフリーの回路シミュレータです。

以前は高価な PSpice を使っていましたが、LTspice は無料です。実にありがたいソフトです。ただ、ときどきバグらしい動作を示すことがあります。今回の回路設計も、定数を変更してはシミュレータで確認して、という作業を繰り返していました。

今回は、シミュレーションに使用したモデルは省きました。シミュレータはフリーですが、サポートされるモデルは、当然、LT 社のデバイスだけです。Spice モデルを提供している日本の半導体メーカーもあるのですが、今回使用したトランジスタは、いずれもサポートされていません。このため OrCAD Capture 9.2 の Parts を使用してモデルを作成しました。

なお、どのモデルもデータ・シ

トに示される情報だけを使って作ったものであり、精度が十分ではありません。とくに高周波特性は実機とは差があることをご容赦ください。

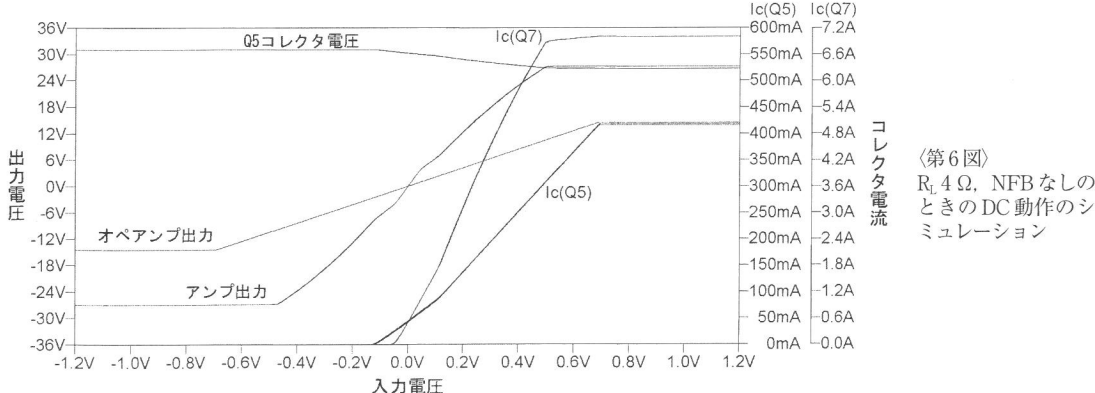
第6図に負荷インピーダンス 4Ω、オペアンプを 21 倍の非反転アンプとして、フィードバックはメジャー・ループもマイナー・ループも、どちらもはずしたときの DC シミュレーションを示します。

アンプ出力電圧は、オペアンプ出力の約 2.9 倍となっています。これがブースタ回路のゲインになります。

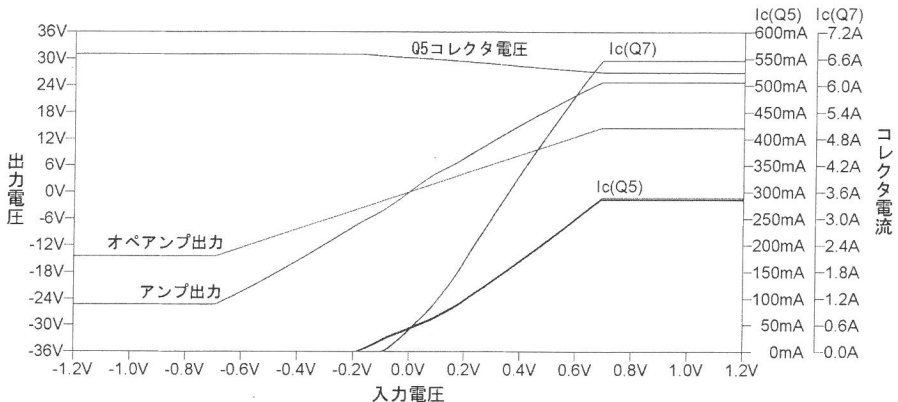
$Q_5$ のコレクタ電流 $I_{C(Q5)}$ は、入力電圧が-110mV以上で流れ始め、最大415mAに達しています。 $I_{C(Q5)}$ は入力110mV、90mA付近に変曲点がありますが、-110mV～+110mVの区間は $Q_6$ にもコレクタ電流が流れ、Aクラス動作となっているためです。

$Q_5$ のコレクタ電圧、すなわち $Q_7$ のベース電圧は入力電圧が-110mV以上で変化し始め、アンプ出力が飽和するとともに一定となっています。

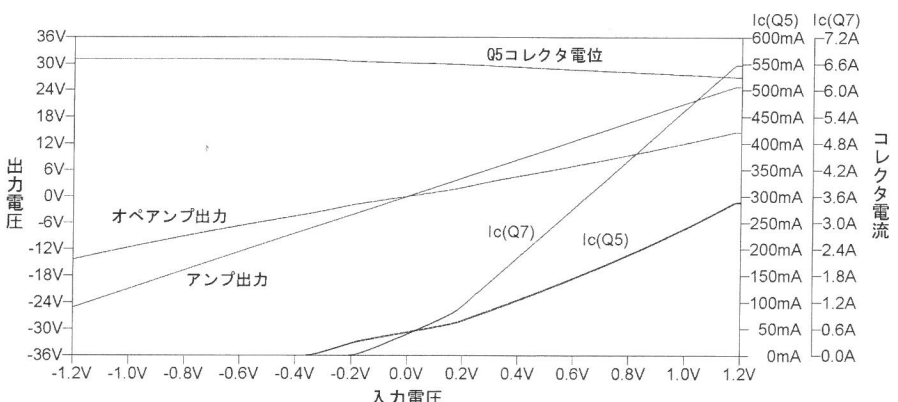
また、 $Q_7$ のコレクタ電流 $I_{C(Q7)}$ より、 $Q_7$ は入力電圧-45mVでカットインしています。 $Q_7$ および $Q_8$ がオンになる区間は-45mV～+45mVであり、1段目の $Q_5$ よりも狭くなっています。アンプ出力電



〈第7図〉  
マイナー・ループ  
NFBをかけたとき  
のDCシミュレーション



〈第8図〉  
マイナー、メジャー  
のNFBをかけたとき  
のDC動作のシミュレーション



圧には、このQ<sub>7</sub>およびQ<sub>8</sub>のオンオフによる非直線性が見えます。

マイナー・ループを用いたときが第7図です。ブースタ回路のゲインが1.8倍となっていることがわかります。アンプ出力の非直線性も改善されています。

さらにメジャー・ループも用いた場合が第8図です。ブースタ回路のゲインは1.77倍となり、トータ

ル・ゲインが21倍となっていることがわかります。アンプ出力の非直線性もグラフ上は確認できません。

トータル・ゲインが下がっているため、Q<sub>5</sub>のカットインが-350 mVに、Q<sub>7</sub>のカットインが-200 mVと、それぞれAクラス動作の範囲が広がっていることがわかります。

なお、シミュレーションでは、出力抵抗は1 mΩ以下の数字となりま

した。コレクタ出力によって、ダンピングが悪くなる心配はなさそうです。

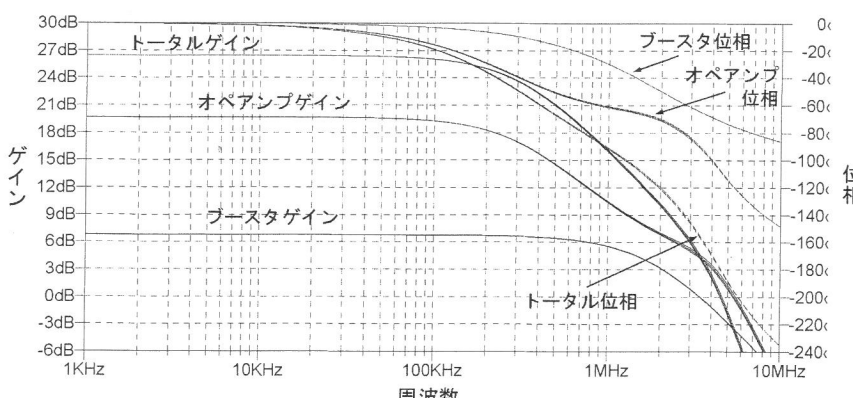
また、シミュレーションでのアイドリング電流はQ<sub>5</sub>が44 mA、Q<sub>7</sub>が487 mAですが、実測では、Q<sub>5</sub>が約40 mA、Q<sub>7</sub>が約400 mAとなりました。

第9図にC<sub>f1</sub>を150 pFとして、負荷抵抗4 ΩとしたときのACシ

ミュレーションを示します。

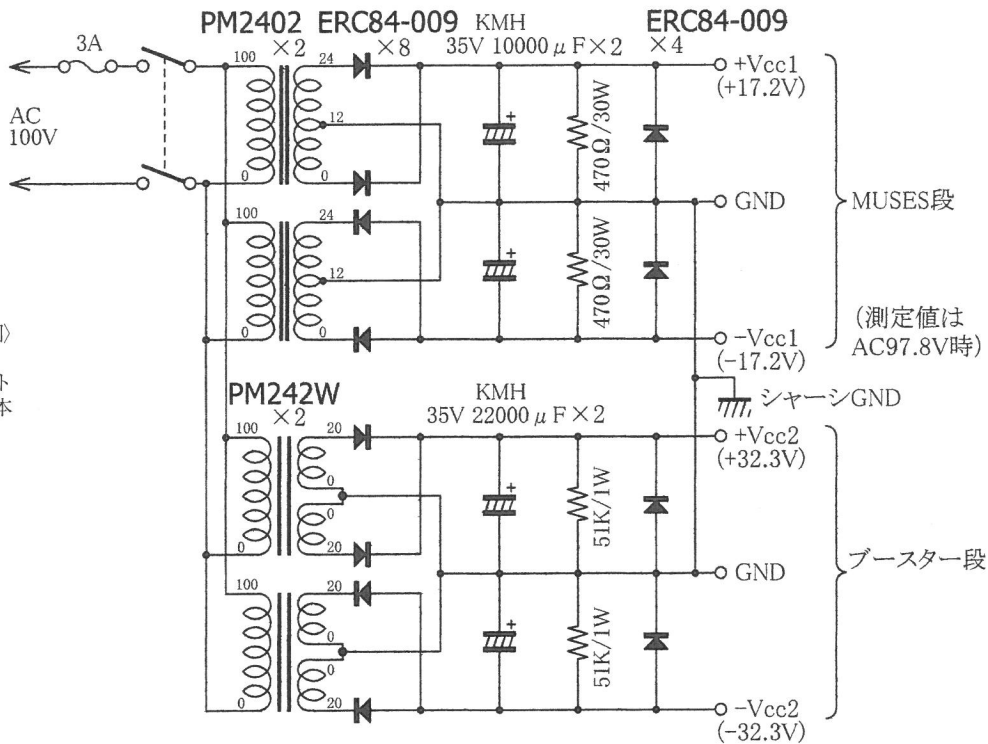
トータル・ゲインの-3 dB点は317 kHzと計算されました。4.5 MHzでトータル・ゲインが0 dBとなり、その時の位相が-180°と位相余裕が0°とのシミュレーション結果となっていますが、実機は発振することなく安定に動作しています。

これは、私の作成したモデルがMUSESの高周波特性



〈第9図〉 NFB回路にC<sub>f1</sub>を加えたときのAC動作のシミュレーション

〈第10図〉  
各回路とも左右、  
±とも分けて8トランジスタを使った本機の電源回路



を正しく表わしていないことが原因です。後述する周波数特性に示されるように、実機の高周波特性はシミュレーションほどに伸びていません。これが幸いして、安定に動作しました。

### 電源回路

第10図に電源回路を示します。片チャネル分です。回路図中の各部の電圧は、電源電圧 99.4 V 時の実測値です。

電源は、左右、プラス・マイナスを分け、さらに MUSES 段とブースタ段を分けた 8 トランジスタ構成です。各段とも電圧安定化回路は用いていません。

能動素子には、それぞれ電源電流を供給しなければなりません。そして、能動素子が増幅すれば、電源電流は変動します。複数の素子の電流変動を 1 つの電源トランジスタ (コア) に流せば、そこに干渉が生じて音場

感が狭まります。と、わかったような説明をつけ加えますが、現象を観測したわけではありませんから、空想的 (?) 説明です。

しかし、その効果が聴こえてしまうと、1 個で間に合うはずのもっとも高価な部品を複数個使うはめに陥ってしまいます。各段に独立の電源トランジスタを用いると、音場の広がりと音像定位にあるあやふやな感じをすばらしく改善します。

また、電圧安定化回路を用いて電圧を一定に保ったところで、電源電流は変動します。信号に依存する電流がコアを流れる状況に違いはありませんから、依然として電源トランジスタ分離の効果は聴こえます。いまだ電源トランジスタや電源キャパシタの音の違いを消せる電圧安定化回路というのを聴いたことはありません。

電源回路もアンプ回路と同じく、能動素子を使えば使うほど、能動素子の音がアンプの音に付け加えられ

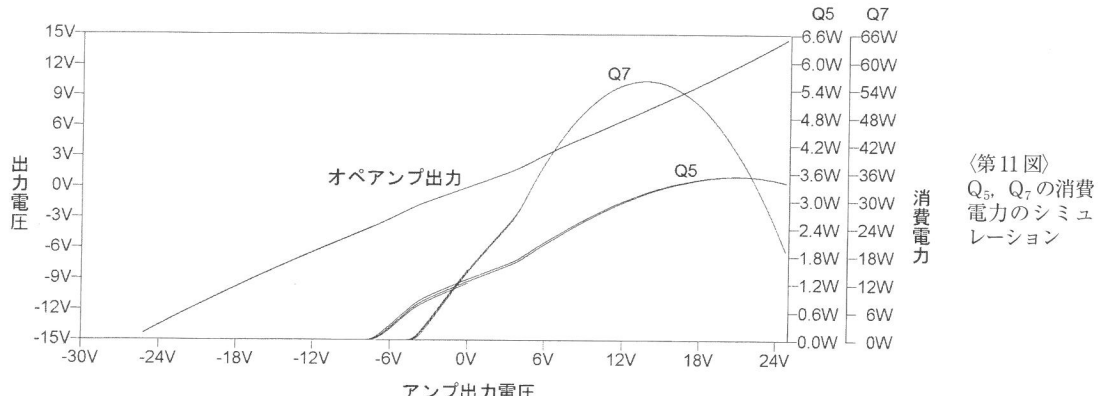
ます。できるだけ付加される音を少なくしてアンプを作りたいと考えています。

MUSES 段は、ノグチトランジスタ PM 2402 (24 V, 0.2 A) をプラス・マイナスそれぞれに用いています。オペアンプのプラスとマイナスであっても電源電流は別々の変化をしますから、電源トランジスタを分けると、その効果が聴こえできます。

整流ダイオードには、富士電機 ERC 84-009 (90 V, 3 A) をそれぞれセンター・タップ整流で使用しています。スイッチング・オフ時のリカバリ特性に優れたショットキー・バリア・ダイオードです。

フィルタ・キャパシタには日本ケミコン KMH 35 V 10000 μF を用いました。ねじ端子品であることはいうまでもありません。同じ KMH であっても、基板自立型は比較にならない音です。

キャパシタには 470 Ω (3 W) の



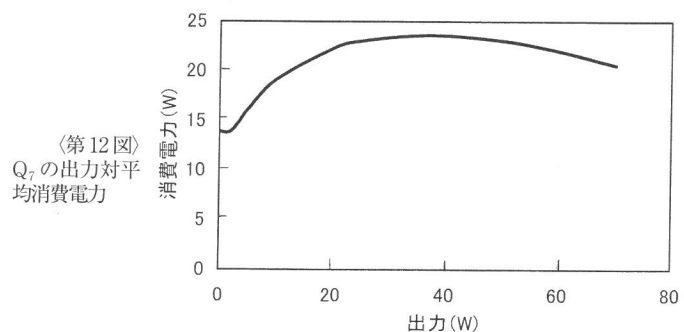
ブリーダ抵抗を並列に入れてあります。これは、電源電圧調整用です。ないと MUSES の絶対最大定格を超える危険性があります。ここは音に影響しませんので、抵抗の銘柄にはこだわりません。

同じくキャパシタに並列に、電流が流れない方向に ERC 84-009 を入れていますが、あった方がざらつきの少ない透明感のある音になります。なぜそうなるのか理由はまったくわかりません。

もっとも、整流ダイオードのリカバリ特性がなぜ聴こえてくるのか、そのメカニズムの説明も見たことはありません。「リカバリが早いと音がよくなる」では単なる現象論であって、何の説明にもなっていません。

ブースタ段はプラス・マイナスそれぞれにノゲチトランジスタ PM 242 W (24V, 2A × 2) の2次巻線を直列接続して使用しています。欲をいえば、バイアス電圧段、1段目のエミッタ接地と2段目のエミッタ接地の3段に分けたいのですが、エミッタ接地段とエミッタ・フォロワ段を分けるためには、レギュレータを使用するか A クラスにしなければならず、非常に面倒です。

MUSES 段と同じく ERC 84-009 を用いてプラス・マイナスそれぞれをセンター・タップ整流して、KMH 35 V 22000 μF を用いてフィ



ルタリングしています。が、正直なところ、キャパシタの容量は倍くらい欲しいところです。パワー段フィルタ容量が増えるほど、透明感のある音になってきます。

ブースタ段のブリーダ抵抗 51 kΩ は、電源オフ時の放電用であり、必須ではありません。ここも逆方向ダイオードを用いています。

### ヒート・シンク容量の計算

ブースタ段はアイドリング電流 400 mA の AB クラス動作です。Q<sub>5</sub>, Q<sub>7</sub> の消費電力をシミュレーションで求めたグラフが第 11 図です。Q<sub>7</sub> の消費電力はピークで 56 W となります。

このグラフから Q<sub>7</sub> の出力対平均消費電力を求めると第 12 図のようになります。消費電力のピークは出力 37 W の時で、23.6 W です。

まずパワー・トランジスタ 2SA 1386 / 2SC 3519 の熱抵抗 R<sub>TRP</sub> は、ジャンクション温度 T<sub>j</sub>、ケース温

〈第 11 図〉  
Q<sub>5</sub>, Q<sub>7</sub> の消費電力のシミュレーション

度 T<sub>c</sub> とすると、

$$\begin{aligned} R_{TRP} &= (T_j - T_c) / P_{T(c=25^{\circ}\text{C})} \\ &= (150 - 25) / 130 \\ &\approx 0.962 (\text{°C} / \text{W}) \quad \dots\dots\dots (12) \end{aligned}$$

です。ケース温度を 65°C として、絶縁シートによる熱抵抗 R<sub>θ</sub> = 0.5 (°C / W) とすれば、ヒート・シンクに要求される熱抵抗 R<sub>HSP</sub> は、

$$\begin{aligned} R_{HSP} &= \frac{T_j - T_a}{P_{TRP}} - (R_{TR} + R_{\theta}) \\ &= \frac{150 - 65}{23.6} - (0.962 + 0.5) \\ &\approx 2.13 (\text{°C} / \text{W}) \quad \dots\dots\dots (13) \end{aligned}$$

となります。Q<sub>5</sub> の平均発熱量のピークは 1.6 W ですので無視します。

ヒート・シンクは、LEX (丸三電機) 21 F 154 を、それぞれのパワー・トランジスタに使用しました。高さはケースに合わせて 132.5 mm を特注しました。熱抵抗は約 1.3 (°C / W) です。

### 部品と組み立て

使用部品を第 1 表に示します。

抵抗はヴィシェイ・デール/Vishay Daleです。米軍規格MIL-PRF-26スペックのシリコン・コートド巻線抵抗です。アイルトン・ペリー(Ayrtton-Perry)巻線法によって、巻線インダクタンスおよび線間容量を極小に押さえたNSシリーズです。

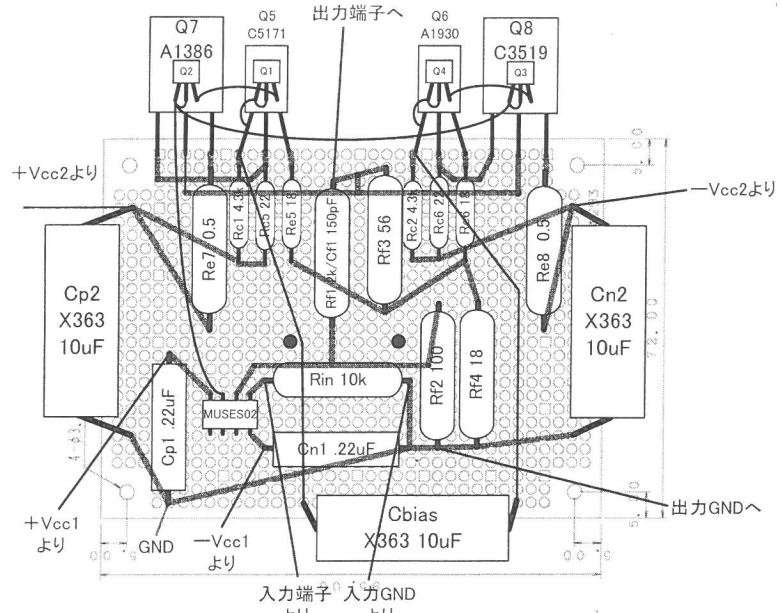
アイルトン・ペリー巻線とは、2本の抵抗線をコアに反対向きに巻きつけるバイファイラ巻きであり、2本の抵抗線のターン数が同じとなれば、磁界は打ち消しあってインダクタンスが発生しません。欠点は、倍の抵抗値、つまり同じ長さなら半分の断面積の2本の抵抗線を反対向きに巻かなければならぬことです。

とにかく、抵抗は無誘導巻線に限ります。リードが鉄であるかないかは微々たる問題です。銅コーティングされた鉄リードは抵抗本体をしっかりと支えます。リードの材質よりは、銅ニッケル合金またはニクロム合金である抵抗体の材質の方が音に重要なのです。

終段のエミッタ抵抗 $R_{e7}$ および $R_{e8}$ 、マイナーループのフィードバック抵抗 $R_{f3}$ および $R_{f4}$ は、定格5WのNS-5が必要ですが、音質に大きく影響する入力抵抗およびフィードバック・ループ抵抗にもNS-5を使用しました。

デールであっても定格電力の大きい方が音もくっきりします。3WのNS-2Bよりも5WのNS-5、さらには10WのNS-10がよくなるのですが、あまりにも大きくなるので5Wで妥協しています。

出力端の50Ωは発熱もありますので、スピーカ端子に圧着端子を使用して取り付けます。連続最大出力ではこの消費電力が5Wを超ますが、実際にはそのような条件になることは(テストのときを除いて)あります。



〈第13図〉本機の配線パターン

ませんから、NS-5でいいことにしています。

ついでにつけ加えますと、これはなくとも、50Ω以下のインピーダンスのスピーカを接続していれば、発振することはありません。出力オーブンで測定するときの補償用であり、じつは、私の家では用いていません。

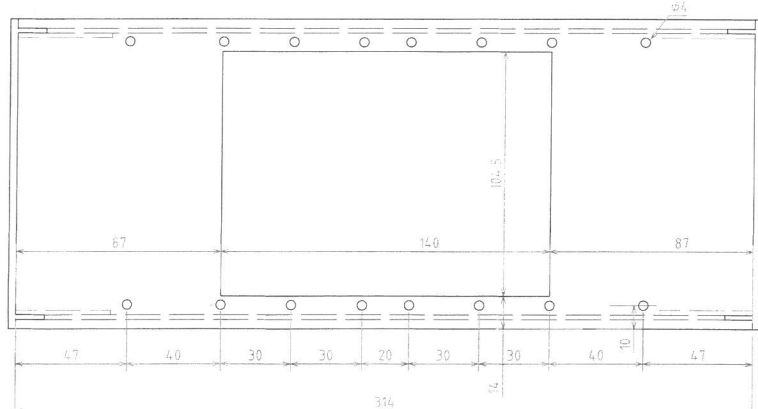
ほかの抵抗はNS-2Bです。

基板上のバイパス・キャパシタはASCのX363メタライズド・ポリプロピレン・フィルム・キャパシタです。円筒形状ですが、無誘導巻

イルムです。MUSES段には0.22μF、ブースタ段には10μFを用いました。

ブースタ段は使用しなくても発振はありませんでしたが、ある方が聴感上ざらついた感じが少くなりまし。C<sub>bias</sub>は、なくても動作には支障ありません。が、ある方が聴感上くっきりとした見透しのよい音になります。が10μFでは容量不足で、できれば100μF以上は欲しいところです。もちろんX363で、位相補償用C<sub>f1</sub>はディップ・マイカです。

第13図にアンプ回路の配線バタ



〈第14図〉シャーシ加工図の中の側板の寸法。これに基板をつける

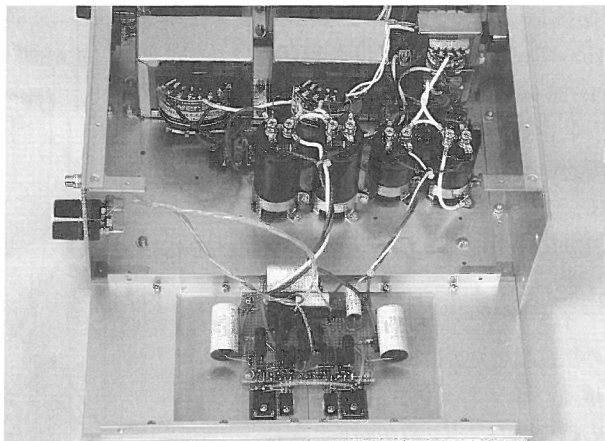
ーンを示します。MUSES02はデュアルですが、前述のとおり片側だけを使用します。

アンプ回路は、サンハヤト ICB-293 ユニバーサル基板のパターン面に部品を配置し、配線しています。部品が安定するようにユニバーサル基板は2枚重ねとして、部品の足がヒート・シンクに接触しないよう5t ベーク板を下に敷いてヒート・シンクにネジ固定しています。

欲をいえばここに20mm くらいの真鍮板を挟むと、音的にもしっかりとします。

ケースはタカチ電機工業 YER-133-32S を使用しました。ヒート・

- 側板をはずしてアンプ部分の配線をのぞいたところ



シンクを左右の側板の外から取り付けていますので、ラックには入らなくなっています。

第14図にケースの加工図の一部

品名	メーカー	型式	数量	備考
<b>外装</b>				
ケース	タカチ電機工業	YER-133-32S	1	
AC電源ケーブル			1	
AC電源用コネクタ			1	
電源スイッチ	IDEC	LA1L-A1C63G	1	LA92-SM61プラケット使用
ヒューズホルダ	EDK	FH-001AF	1	
ヒューズ		スロープロー2A	1	スロープローでない場合3A以上
RCA端子	オーディオクラフト	XC-01	1組	
スピーカ端子	アトラス	SP-10	2組	
<b>電源</b>				
トランス	ノゲチトランス	PM2402	4	(電圧増幅段)
	ノゲチトランス	PM242W	4	(電力増幅段)
端子台	サトーパーツ	ML-3391 6P	5	
ダイオード	富士電機	ERC-84-009	24	
ケミコン	日本ケミコン	KMH 35V10000μF	4	ネジ端子品(電圧増幅段)
		KMH 35V22000μF	4	ネジ端子品(電力増幅段)
抵抗	KOA SPR5C	470 (5W)	4	(電圧増幅段)
		10k (1W)	4	(電力増幅段)
<b>アンプ基板</b>				
ヒートシンク	LEX	21F154 L=132.5	4	
ユニバーサル基板	サンハヤト	ICB-293	4	
ベーク板		5t 95×72	2	
オペアンプ	新日本無線	MUSES02	2	
トランジスタ	NEC	2SA992	4	
	NEC	2SC1845	4	
東芝		2SA1930	2	
		2SC5171	2	
サンケン電気		2SA1386A	2	
		2SC3519A	2	
シリコンシート		TO-3用	4	
キャパシタ	ASC	X363 400V0.22μF	4	Cp1, Cn1
		X363 100V10μF	6	Cp2, Cn2, Cbias: X335もOK
キャパシタ	松崎電気	ディップマイカ 68pF	2	Cf1
抵抗	Dale NS-5 (5W)	0.5	4	Re7, Re8 (5W以上必要)
		33	2	Rf4 (5W以上必要)
		100	2	Rf2
		150	2	Rf3 (3W以上必要)
		2k	2	Rf1
		10k	2	Rin
	Dale NS-2B (3W)	18	4	Re5, Re6
		22	4	Rc5, Rc6
		4.3k	4	Rc1, Rc2

〈第1表〉本機の部品表 ネジ、ナット、電線類は含まず

を示します。底板はトランスが8個も載りますので、3t のアルミ板に換えていました。ヒート・シンクは、左右のパネルにそれぞれ2枚を並べた状態で使用します。

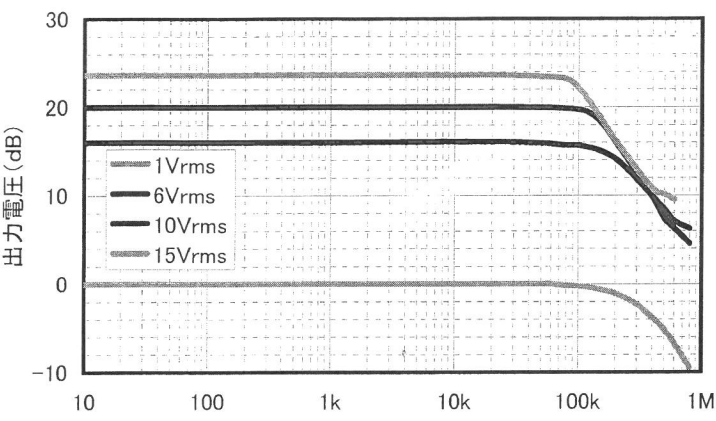
電源スイッチはIDEC フラッシュ・シルエット・スイッチを使用しました。パネル面からの突出がほとんどなく、また自照式のスイッチですので、穴開けが1つですみます。2c接点を用いて、AC ラインの両側をオン・オフします。

ヒューズは、スロープロー3Aを用いています。アイドリング時の消費電力は80Wほどですが、電源オン時の突入電流が大きいので、ふつうのヒューズではもう少し容量を大きくする必要があるかもしれません。

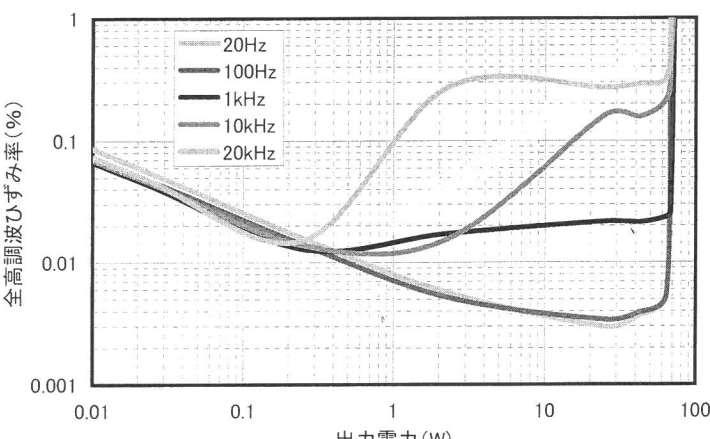
音的にはサーキット・プロテクタを薦めますが、この場合も容量は大きくしないとオンにできません。

配線材は0.3□のビニール線を、入力端子からアンプ基板まではφ0.5 mm、アンプ基板からスピーカ端子まではφ0.8 mmの単線の被覆線を用いています。ここはシールド線ではなく、適度に柔らかい線であれば、こだわりません。

パーツ購入先は、CR および端子は秋葉原の海神無線、トランスはノグチトランス販売、NECとサンケ



〈第15図〉出力別の周波数特性



〈第16図〉周波数別のひずみ率特性

ンのトランジスタとダイオードは若松通商、MUSESと東芝のトランジスタはネット通販のチップワンストップです。

調整箇所はありません。電源回路を組み立てて電圧を確認してから、アンプ基板を接続します。別の電源トランスを用いる場合は、MUSES段が絶対に±18Vを超えることがないよう、とくに注意してください。また、製作の際にはかならずオシロスコープを用いて発振のないことをご確認ください。

本機には保護回路を用いていません。スピーカを接続する際には電源をオフにしてください。不用意に出力をショートすると、故障の原因になります。

## 特性

第15図に $4\Omega$ 負荷での周波数特性を示します。出力 $1V_{rms}$ を $0dB$ と表示しています。 $1V_{rms}$ での $-3dB$ 点は約 $360kHz$ であり、シミュレーションの結果とほぼ同じとなっています。

$6, 10, 15V_{rms}$ では $100kHz$ 付近からレスポンスが急激に低下していますが、これはオペアンプのスリューレートによる限界です。MUSES 02のスリューレートは $5V/\mu s$ ですので、 $100kHz$ の無ひずみ最大振幅は $5.6V_{rms}$ となります。ブースタで $1.77$ 倍に増幅されたとして $9.9V_{rms}$ ( $19.9dB$ )です。計算値と一致しています。

第16図にひずみ率特性を示します。 $20Hz, 100Hz$ は何もいうことはないのですが、周波数が高くなると、 $1W$ あたりからひずみの増加が見られます。これは、オペアンプの負荷が重くなるためと考えられます。周波数が高くなればなるほど、容量性負荷インピーダンスが小さくなるため、出力段のトランジスタの出力電流は多くなり、そのため、出力段のトランジスタの $h_{FE}$ が低下してひずみ率の悪化を招いていると考えています。的はずれかもしれませんか……。

## ゆったりとした感じの音

ゆっくりと安心して聴いていられる音です。軽く、ふわっと、素早い感じで音が伝わってくるように感じます。楽器の質感、とくに弦楽器のそれをクリアに感じさせてくれる音です。低域の量感は良好です。

コレクタ出力に心配はありました。エミッタ・フォロワよりもダンピングのよい低音を感じます。実在感のある低音です。8月号のアンプよりゆったりとした感覚があり、私の好みです。ややヴォーカルに霞んだような音が被さる感じがありますが、透明感に優れ、音像をリアルに感じさせてくれる音です。音場の広がり、奥行き感も悪くありません。

優れたMUSES 02の音を損なうことなく再生してくれるアンプと思います。

### ●参考資料

- (1) <http://semicon.njr.co.jp/jpn/MUSES/index.html>
- (2) 渡辺明徳、低周波電力增幅回路の設計、トランジスタ技術 2003年4月号、pp.186-191
- (3) MUSES 02 データシート、新日本無線(株)
- (4) <http://www.linear-tech.co.jp/design-tools/software/#Spice>